



**Аннотация.** Описан алгоритм распознавания сходства многоугольников в метрике Фреше. Для заданных  $m$ -угольника,  $n$ -угольника и числа  $\varepsilon$  алгоритм определяет, превышает ли расстояние между ними порог  $\varepsilon$ . Известные алгоритмы решают эту задачу за время, линейно зависящее от  $(m \times n) \log(m \times n)$ , предлагаемый алгоритм — за время порядка  $(m \times n)$ .

**Ключевые слова:** вычислительная геометрия, метрика Фреше, усиленная метрика Хаусдорфа, вычислительная сложность, многоугольники.

#### МЕТРИКА ХАУСДОРФА И ЕЕ УСИЛЕНИЕ

Пусть  $\mathbb{R}^k$  — линейное  $k$ -мерное пространство с метрикой  $d: \mathbb{R}^k \times \mathbb{R}^k \rightarrow \mathbb{R}$ , где  $d(x, x') = \sqrt{(x - x')^2}$  — расстояние между точками  $x \in \mathbb{R}^k$  и  $x' \in \mathbb{R}^k$ . Пусть  $D$  — множество всех возможных ограниченных и замкнутых подмножеств в  $\mathbb{R}^k$ . Метрикой Хаусдорфа [1] на множестве  $D$  называют метрику  $h: D \times D \rightarrow \mathbb{R}$ , которая определяет расстояние  $h(X, Y)$  между подмножествами  $X \in D$  и  $Y \in D$  следующим образом:

$$h(X, Y) = \max \left[ \max_{x \in X} \min_{y \in Y} d(x, y), \max_{y \in Y} \min_{x \in X} d(x, y) \right]. \quad (1)$$

Данная метрика применяется в обработке изображений [2–4], анализе циклических процессов, в частности, электрокардиограмм [5]. Как и для любой другой метрики,  $[h(X, Y) = 0] \Leftrightarrow [X = Y]$ . Однако в некоторых приложениях [2–4, 6] необходимо не только, чтобы расстояние между различными объектами не равнялось нулю, а чтобы оно было не слишком малым, если различие между объектами в том или ином приложении считается существенным. Объясним это требование на примерах, а потом сформулируем его точно.

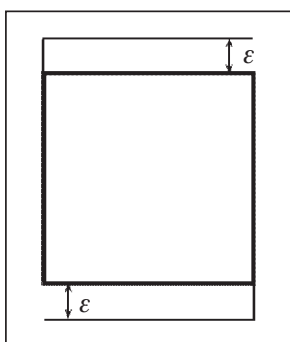


Рис. 1. Хаусдорфова метрика недостаточно сильная: чем меньше  $\varepsilon$ , тем меньше расстояние

**Пример 1.** На рис. 1 показаны квадрат, нарисованный жирными линиями, и изображение, представленное как жирными, так и тонкими линиями. Расстояние Хаусдорфа между этими изображениями равно  $\varepsilon$  и становится сколь угодно малым при уменьшении  $\varepsilon$ . Тем не менее, эти изображения в определенном смысле существенно отличаются одно от другого при любом, даже очень малом  $\varepsilon$ . □

**Пример 2.** Как правило, под кусочно-линейной аппроксимацией кривой понимают ее разбиение на сегменты и последующую замену каждого из них прямолинейным отрезком. При этом необходимо, чтобы количество сегментов было как можно меньшим, а различие между сегментом кривой и соответствующим прямолинейным отрезком не превышало заданный порог. Если это различие определить как расстояние Хаусдорфа, то кривую на рис. 2 можно аппроксимировать одним прямолинейным отрезком. Это противоречит разумному интуитивному пониманию того, какие кривые позволительно заменять прямолинейным отрезком.  $\square$

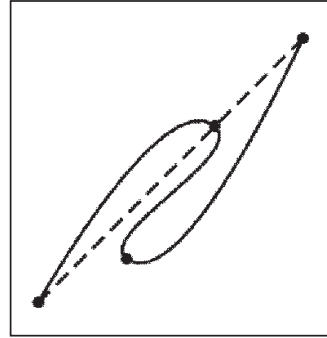


Рис. 2. Неподходящая замена кривой прямолинейным отрезком

**Пример 3.** Недостаток метрики Хаусдорфа как инструмента для распознавания изображений очевиден при следующем ее эквивалентном определении. Пусть  $N(\varepsilon) = \{x \mid d(x, 0) \leq \varepsilon\}$  — это  $\varepsilon$ -окрестность начала координат в  $\mathbb{R}^k$ , а  $P(\varepsilon, X) = \{x + y \mid x \in X, y \in N(\varepsilon)\}$  — операция расширения множества  $X$ . Эта операция с так называемым сужением множества образует известную пару «дилатация–эрозия» [7]. Условие  $h(X, Y) \leq \varepsilon$  эквивалентно выражению

$$[X \subset P(\varepsilon, Y)] \wedge [Y \subset P(\varepsilon, X)], \quad (2)$$

а расстояние Хаусдорфа между множествами  $X$  и  $Y$  — минимальное значение  $\varepsilon$ , при котором условие (2) не нарушается. Известно, что пара операций «дилатация–эрозия» исключает мелкие искажения в изображениях [7, 8]. Хаусдорфова метрика игнорирует эти искажения и поэтому ее использование неуместно, когда именно мелкие детали изображений определяют их различие.  $\square$

Приведенные примеры мотивируют необходимость усиления хаусдорфовой метрики. Один из возможных способов этого усиления основан на следующих соображениях. Для заданных множеств  $X \in D$  и  $Y \in D$  обозначим  $X^Y$  и  $Y^X$  множества функций вида  $Y \rightarrow X$  и  $X \rightarrow Y$  соответственно, а также  $\varphi^* : X \rightarrow Y$  и  $\psi^* : Y \rightarrow X$  — функции со значениями

$$\varphi^*(x) = \arg \min_{y \in Y} d(x, y), \quad \psi^*(y) = \arg \min_{x \in X} d(x, y).$$

Расстояние Хаусдорфа (1) в этих обозначениях — это число

$$\begin{aligned} h(X, Y) &= \max \left[ \max_{x \in X} \min_{y \in Y} d(x, y), \max_{y \in Y} \min_{x \in X} d(x, y) \right] = \\ &= \max \left[ \max_{x \in X} d(x, \varphi^*(x)), \max_{y \in Y} d(\psi^*(y), y) \right] = \\ &= \max \left[ \min_{\varphi \in Y^X} \max_{x \in X} d(x, \varphi(x)), \min_{\psi \in X^Y} \max_{y \in Y} d(\psi(y), y) \right] = \\ &= \min_{\varphi \in Y^X} \min_{\psi \in X^Y} \max \left[ \max_{x \in X} d(x, \varphi(x)), \max_{y \in Y} d(\psi(y), y) \right]. \end{aligned} \quad (3)$$

В определении (3) на функции  $\varphi$  и  $\psi$  не наложены какие-либо ограничения. Заменим метрику  $h$  более сильной метрикой  $H$  так, что наложим на функции  $\varphi$  и  $\psi$  ограничения: функция  $\varphi$  отображает  $X$  на  $Y$  так, что  $\{\varphi(x) \mid x \in X\} = Y$ , она непрерывна и обратима, а функция  $\psi$  непрерывна и совпадает с  $\varphi^{-1}$ . Обозначим  $\Phi$  множество функций, удовлетворяющих этим условиям, с их учетом запишем (3) в виде

$$H(X, Y) = \inf_{\varphi \in \Phi} \max_{x \in X} [d(x, \varphi(x)), \max_{y \in Y} d(\varphi^{-1}(y), y)] = \inf_{\varphi \in \Phi} \max_{x \in X} d(x, \varphi(x)), \quad (4)$$

и назовем  $H(X, Y)$  усиленным расстоянием Хаусдорфа между множествами  $X \in D$  и  $Y \in D$ . Это расстояние определено только для тех пар  $X$  и  $Y$ , для которых множество  $\Phi$  не пусто, в частности, на множестве жордановых кривых. В этом случае оно совпадает с расстоянием Фреше [6].

Основной результат статьи состоит в алгоритме, который для заданных  $m$ -угольника  $X$  и  $n$ -угольника  $Y$ , а также числа  $\varepsilon$  проверяет неравенство  $H(X, Y) \leq \varepsilon$  за время, линейно зависящее от  $m \times n$ . Известные в настоящее время алгоритмы [6] имеют сложность порядка  $(m \times n) \log(m \times n)$ . В конце следующего раздела после определения основных понятий сформулированы дополнительные результаты, вспомогательные для указанного основного.

#### ЦЕПОЧКИ, ЦИКЛЫ, ЛОМАНЫЕ ЛИНИИ, МНОГОУГОЛЬНИКИ

**Определение 1.** Назовем последовательность  $\bar{x} = (x_0, x_1, \dots, x_m)$ ,  $x_i \in \mathbb{R}^k$ , цепочкой длины  $m$ , а при  $x_0 = x_m$  — циклом.  $\square$

Пусть  $T = \{t \in \mathbb{R} \mid 0 \leq t \leq 1\}$ .

**Определение 2.** Монотонный обход полностью упорядоченного множества  $P$  — это монотонно неубывающая функция  $f_P: T \rightarrow P$  такая, что  $\{f_P(t) \mid t \in T\} = P$ .  $\square$

Обозначим  $F^m(P)$  множество всех монотонных обходов множества  $P$ .

**Определение 3.** Расстояние между цепочками  $\bar{x} = (x_0, x_1, \dots, x_m)$  и  $\bar{y} = (y_0, y_1, \dots, y_n)$  — это число

$$H(\bar{x}, \bar{y}) = \min_{f_i \in F^m(I)} \min_{f_j \in F^n(J)} \max_{t \in T} d(x_{f_i(t)}, y_{f_j(t)}),$$

где  $I = \{0, 1, \dots, m\}$ ,  $J = \{0, 1, \dots, n\}$ , а  $d(x, y)$  — евклидово расстояние между  $x$  и  $y$ .  $\square$

**Определение 4.** Циклический обход полностью упорядоченного множества  $P$  — это функция  $f_P: T \rightarrow P$ , для которой существуют такие  $p^* \in P$ ,  $s^* \in S$ ,  $t^* \in T$ , что на интервале  $\{t \in T \mid t \leq t^*\}$  функция  $f_P$  является монотонным обходом множества  $\{p \in P \mid p \leq p^*\}$ , а на интервале  $\{t \in T \mid t \geq t^*\}$  — монотонным обходом множества  $\{p \in P \mid p \geq p^*\}$ .  $\square$

Обозначим  $F^c(P)$  множество всех циклических обходов множества  $P$ .

**Определение 5.** Расстояние между циклами  $\bar{x} = (x_0, x_1, \dots, x_m)$  и  $\bar{y} = (y_0, y_1, \dots, y_n)$  — это число  $H(\bar{x}, \bar{y}) = \min_{f_i \in F^c(I)} \min_{f_j \in F^c(J)} \max_{t \in T} d(x_{f_i(t)}, y_{f_j(t)})$ , где  $I = \{0, 1, \dots, m\}$ ,  $J = \{0, 1, \dots, n\}$ .  $\square$

**Определение 6.** Для заданной последовательности  $\bar{x} = (x_i \mid i \in \{0, 1, \dots, m\})$  множество

$$X = \{\alpha \cdot x_{i-1} + (1-\alpha) \cdot x_i \mid 0 \leq \alpha \leq 1, i \in \{1, 2, \dots, m\}\}$$

является ломаной линией, если  $\bar{x}$  — цепочка, и многоугольником, если  $\bar{x}$  — цикл.  $\square$

Точки  $x_i$ ,  $i \in \{0, 1, \dots, m\}$ , назовем вершинами множества  $X$ , а множества  $\{\alpha \cdot x_{i-1} + (1-\alpha) \cdot x_i \mid 0 \leq \alpha \leq 1\}$ ,  $i \in \{1, 2, \dots, m\}$ , — его сторонами. Пусть  $U$  и  $V$  — суммы длин сторон в  $X$  и  $Y$  соответственно. Введем обозначения  $U_X = \{u \mid 0 \leq u \leq U\}$  и  $V_Y = \{v \mid 0 \leq v \leq V\}$ . Каждому числу  $u \in U_X$  поставим в со-

ответствие точку  $x(u) \in X$  такую, что длина участка ломаной линии от  $x_0$  до  $x(u)$  равна  $u$ . Каждому числу  $v \in V_Y$  поставим в соответствие точку  $y(v) \in Y$  такую, что длина участка ломаной линии от  $y_0$  до  $y(v)$  равна  $v$ . Далее используем также обозначения  $u(x)$ ,  $x \in X$ , для длины участка ломаной линии от  $x_0$  до  $x$ , и  $v(y)$ ,  $y \in Y$ , имеющее аналогичный смысл.

**Определение 7.** Расстояние между ломаными линиями  $X$  и  $Y$  — это число

$$H(X, Y) = \min_{u_X \in F^m(U_X)} \min_{v_Y \in F^m(V_Y)} \max_{t \in T} d(x(u_X(t)), y(v_Y(t))). \quad \square$$

На множестве ломаных линий приведенное определение эквивалентно сформулированному ранее определению усиленного хаусдорфова расстояния (4).

**Определение 8.** Расстояние между многоугольниками  $X$  и  $Y$  — это число

$$H(X, Y) = \min_{u_X \in F^c(U_X)} \min_{v_Y \in F^c(V_Y)} \max_{t \in T} d(x(u_X(t)), y(v_Y(t))). \quad \square$$

На множестве многоугольников приведенное определение эквивалентно сформулированному ранее определению усиленного хаусдорфова расстояния (4).

**Определение 9.** Два множества называются  $\varepsilon$ -сходными, если расстояние между ними не превышает  $\varepsilon$ .  $\square$

В статье представлены алгоритмы распознавания  $\varepsilon$ -сходства цепочек, циклов, ломаных линий и многоугольников. Известно, что распознавание  $\varepsilon$ -сходства цепочек и вычисление расстояния между ними имеют сложность порядка  $m \times n$ . Что касается циклов и многоугольников, то известные алгоритмы распознавания  $\varepsilon$ -сходства [6] имеют сложность порядка  $(m \times n) \log(m \times n)$ . Сложность предлагаемых алгоритмов распознавания  $\varepsilon$ -сходства циклов и многоугольников имеет порядок  $m \times n$ , т.е. тот же порядок, что и распознавание  $\varepsilon$ -сходства цепочек.

#### ГРАФИКИ ОБХОДОВ

В дальнейшем изложении используется следующее наглядное представление введенных понятий [6]. Представим декартово произведение  $P \times S$  двух полностью упорядоченных множеств в виде прямоугольника  $\Pi$  в плоскости  $\mathbb{R}^2$ , вертикальные стороны которого соответствуют множеству  $P$ , а горизонтальные — множеству  $S$ . Точка  $\pi \in \Pi$  с координатами  $(p, s)$  представляет пару:  $p \in P$ ,  $s \in S$ , причем так, что точка  $\pi_1 = (p_1, s) \in \Pi$  расположена левее точки  $\pi_2 = (p_2, s) \in \Pi$  при  $p_1 < p_2$ , а точка  $\pi_1 = (p, s_1) \in \Pi$  — ниже точки  $\pi_2 = (p, s_2) \in \Pi$  при  $s_1 < s_2$ .

**Определение 10.** Подмножество  $\gamma^m \subset \Pi$  назовем монотонной кривой, соединяющей точки  $(p_1, s_1)$  и  $(p_2, s_2)$ ,  $p_1 \leq p_2$ ,  $s_1 \leq s_2$ , если

— для любых точек  $(p, s) \in \gamma^m$  и  $(p', s') \in \gamma^m$  выполняется либо  $p \leq p'$ ,  $s \leq s'$ , либо  $p \geq p'$ ,  $s \geq s'$ ;

— для любого  $p \in P$  такого, что  $p_1 \leq p \leq p_2$ , существует  $s \in S$  такое, что  $(p, s) \in \gamma^m$ ;

— для любого  $s \in S$  такого, что  $s_1 \leq s \leq s_2$ , существует  $p \in P$  такое, что  $(p, s) \in \gamma^m$ .  $\square$

**Определение 11.** Подмножество  $\gamma^c \subset \Pi$  назовем бимонотонной кривой для пары  $p^* \in P$  и  $s^* \in S$ , если  $\gamma^c$  — объединение двух монотонных кривых: одна соединяет точки  $(\min P, s^*)$  и  $(p^*, \max S)$ , а другая — точки  $(p^*, \min S)$  и  $(\max P, s^*)$ .  $\square$

**Определение 12.** Графиком обходов  $f_P: T \rightarrow P$  и  $f_S: T \rightarrow S$ , монотонных или циклических, назовем подмножество  $\{(f_P(t), f_S(t)) \in \Pi \mid t \in T\}$ .  $\square$

Очевидно, график монотонного обхода — это монотонная кривая, а график циклического обхода — это бимонотонная кривая. Пусть  $I = \{0, 1, \dots, m\}$ ,  $J = \{0, 1, \dots, n\}$  — два множества, а  $\bar{x} = (x_i | i \in I)$ ,  $\bar{y} = (y_j | j \in J)$  — две цепочки или два цикла. Пусть  $X$  — ломаная линия или многоугольник с вершинами  $(x_i | i \in I)$ ,  $Y$  — ломаная линия или многоугольник с вершинами  $(y_j | j \in J)$ . Непосредственно из приведенных определений следуют четыре близкие по смыслу утверждения, на которых основаны последующие алгоритмы.

**Утверждение 1.** Расстояние между цепочками  $\bar{x}$  и  $\bar{y}$  — это

$$H(\bar{x}, \bar{y}) = \min_{\gamma^m \in \Gamma^m} \max_{(i,j) \in \gamma^m} d(x_i, y_j),$$

где  $\Gamma^m$  — множество монотонных кривых, соединяющих точки  $(0,0)$  и  $(m, n)$  в прямоугольнике  $\Pi = I \times J$ . Эти цепочки  $\varepsilon$ -сходны, если существует монотонная кривая  $\gamma^m \in \Gamma^m$  такая, что  $d(x_i, y_j) \leq \varepsilon$  для всех  $(i, j) \in \gamma^m$ .  $\square$

**Утверждение 2.** Расстояние между циклами  $\bar{x}$  и  $\bar{y}$  — это

$$H(\bar{x}, \bar{y}) = \min_{\gamma^c \in \Gamma^c} \max_{(i,j) \in \gamma^c} d(x_i, y_j),$$

где  $\Gamma^c$  — множество бимонотонных кривых в прямоугольнике  $\Pi = I \times J$ . Эти циклы  $\varepsilon$ -сходны, если существует бимонотонная кривая  $\gamma^c \in \Gamma^c$  такая, что  $d(x_i, y_j) \leq \varepsilon$  для всех  $(i, j) \in \gamma^c$ .  $\square$

**Утверждение 3.** Расстояние между ломаными линиями  $X, Y$  — это

$$H(X, Y) = \min_{\gamma^m \in \Gamma^m} \max_{(u,v) \in \gamma^m} d(x(u), y(v)),$$

где  $\Gamma^m$  — множество монотонных кривых, соединяющих точки  $(0,0)$  и  $(U, V)$  в прямоугольнике  $\Pi = \{u | 0 \leq u \leq U\} \times \{v | 0 \leq v \leq V\}$ ,  $U$  и  $V$  — длины ломаных линий  $X$  и  $Y$ . Эти ломаные линии  $\varepsilon$ -сходны, если существует монотонная кривая  $\gamma^m \in \Gamma^m$  такая, что  $d(x(u), y(v)) \leq \varepsilon$  для всех  $(u, v) \in \gamma^m$ .  $\square$

**Утверждение 4.** Расстояние между многоугольниками  $X, Y$  — это

$$H(X, Y) = \min_{\gamma^c \in \Gamma^c} \max_{(u,v) \in \gamma^c} d(x(u), y(v)),$$

где  $\Gamma^c$  — множество бимонотонных кривых в прямоугольнике  $\Pi = \{u | 0 \leq u \leq U\} \times \{v | 0 \leq v \leq V\}$ ,  $U$  и  $V$  — периметры многоугольников  $X$  и  $Y$ . Эти многоугольники  $\varepsilon$ -сходны, если существует бимонотонная кривая  $\gamma^c \in \Gamma^c$  такая, что  $d(x(u), y(v)) \leq \varepsilon$  для всех  $(u, v) \in \gamma^c$ .  $\square$

#### АЛГОРИТМЫ

##### Распознавание $\varepsilon$ -сходства цепочек и вычисление расстояния между ними.

Исходными для распознавания  $\varepsilon$ -сходства цепочек являются множества  $I = \{0, 1, \dots, m\}$ ,  $J = \{0, 1, \dots, n\}$  и цепочки  $\bar{x} = (x_i | i \in I)$ ,  $\bar{y} = (y_j | j \in J)$ . Эти данные определяют прямоугольник  $\Pi = I \times J$  и функцию  $q: \Pi \rightarrow \{0, 1\}$  такую, что  $q(i, j) = 1$ , если  $d(x_i, y_j) \leq \varepsilon$ , и  $q(i, j) = 0$  в противном случае. Точки  $\pi_1 \in \Pi$ ,  $\pi_2 \in \Pi$  назовем взаимно достижимыми, если существует монотонная кривая  $\gamma$  такая, что  $\pi_1 \in \gamma$ ,  $\pi_2 \in \gamma$  и  $q(\pi) = 1$  для всех  $\pi \in \gamma$ . В соответствии с утверждением 1  $\varepsilon$ -сходство цепочек  $\bar{x}$  и  $\bar{y}$  означает, что точка  $(m, n)$  достижима из точки  $(0,0)$ . Это условие проверяется известными методами динамического программирования. Приведем алгоритм этой проверки для полноты изложения и как базу для последующих алгоритмов.

Пусть  $g: \Pi \rightarrow \{0,1\}$  — функция, значение  $g(i, j)$  которой означает, достижима ли точка  $(i, j) \in \Pi$  из точки  $(0, 0) \in \Pi$ . Значения функции  $g: \Pi \rightarrow \{0,1\}$  вычисляются с помощью следующего алгоритма.

**Алгоритм 1**

- 1)  $g(0, 0) = q(0, 0)$ ;
- 2)  $g(i, 0) = q(i, 0) \wedge g(i-1, 0)$ ,  $i = 1, 2, \dots, m$ ;
- 3)  $g(0, j) = q(0, j) \wedge g(0, j-1)$ ,  $j = 1, 2, \dots, n$ ;
- 4)  $g(i, j) = q(i, j) \wedge [g(i-1, j) \vee g(i, j-1) \vee g(i-1, j-1)]$ ,  $i = 1, \dots, m$ ;  $j = 1, \dots, n$ .

□

Результат распознавания  $\varepsilon$ -сходства представлен числом  $g(m, n)$ . Сложность алгоритма имеет порядок  $m \times n$ .

Расстояние между цепочками вычисляется подобным образом. Алгоритм формирует значения  $q(i, j) = d(x_i, y_j)$  для всех точек  $(i, j) \in \Pi$ , а затем — значения

$$g(i, j) = \min_{\gamma \in \Gamma(i, j)} \max_{(i, j) \in \gamma} d(x_i, y_j),$$

где  $\Gamma(i, j)$  — множество всех монотонных кривых, начинающихся в  $(0, 0)$  и заканчивающихся в  $(i, j)$ . Значения  $g(i, j)$  вычисляются с помощью следующего алгоритма.

**Алгоритм 2**

- 1)  $g(0, 0) = q(0, 0)$ ;
- 2)  $g(i, 0) = \max\{q(i, 0), g(i-1, 0)\}$ ,  $i = 1, 2, \dots, m$ ;
- 3)  $g(0, j) = \max\{q(0, j), g(0, j-1)\}$ ,  $j = 1, 2, \dots, n$ ;
- 4)  $g'(i, j) = \min\{g(i-1, j), g(i, j-1), g(i-1, j-1)\}$ ,  
 $g(i, j) = \max\{q(i, j), g'(i, j)\}$ ,  $i = 1, \dots, m$ ;  $j = 1, \dots, n$ .

□

Расстояние между цепочками есть число  $g(m, n)$ , вычисление которого имеет сложность порядка  $m \times n$ .

**Распознавание  $\varepsilon$ -сходства циклов и вычисление расстояния между ними.** Исходными данными при распознавании  $\varepsilon$ -сходства циклов являются множества  $I = \{0, 1, \dots, m\}$ ,  $J = \{0, 1, \dots, n\}$  и циклы  $\bar{x} = (x_i | i \in I)$ ,  $\bar{y} = (y_j | j \in J)$ . В соответствии с утверждением 2  $\varepsilon$ -сходство циклов означает существование определенной бимонотонной кривой в прямоугольнике  $\Pi = I \times J$ . Данное условие можно модифицировать так, чтобы вместо поиска бимонотонной кривой в прямоугольнике  $\Pi = I \times J$  проверять существование монотонной кривой в прямоугольнике другого вида. Для множеств  $I = \{0, 1, \dots, m\}$  и  $J = \{0, 1, \dots, n\}$  определим прямоугольник  $\Pi_2$  как декартово произведение  $\{0, 1, \dots, m\} \times \{0, 1, \dots, 2 \times n\}$ . Циклический обход множеств  $I$  и  $J$  можно представить как монотонный обход множеств  $\{0, 1, \dots, m\}$  и  $\{j^*, j^* + 1, \dots, j^* + n\}$ , где точка  $(0, j^*)$  — начало обхода. График циклического обхода, в свою очередь, можно представить монотонной кривой в  $\Pi_2$ , начинающейся в точке  $(0, j^*)$  и заканчивающейся в точке  $(m, n + j^*)$ .

Определим функцию  $q: \Pi_2 \rightarrow \{0,1\}$  так, что для  $j \leq n$  функция  $q$  принимает значение  $q(i, j) = 1$ , если  $d(x_i, y_j) \leq \varepsilon$ , и  $q(i, j) = 0$ , если  $d(x_i, y_j) > \varepsilon$ , а для  $j \geq n$  — значения  $q(i, j) = q(i, j-n)$ . В этих терминах  $\varepsilon$ -сходство циклов означает существование такого  $j^*$  и такой монотонной кривой, начинающейся в  $(0, j^*)$  и заканчивающейся в  $(m, n + j^*)$ , что  $q(i, j) = 1$  во всех точках этой кривой. Иными словами,  $\varepsilon$ -сходство циклов означает существование такого  $j^*$ , что точка  $(m, n + j^*)$  достижима из точки  $(0, j^*)$ .

Для каждой точки  $(i, j) \in \Pi_2$  определим число  $up(i, j)$ , равное максимальному значению  $j'$ , при котором  $(i, j)$  достижима из  $(0, j')$ . Если такого  $j'$  не существует,



твует, то  $up(i, j) = (-1)$ . Подобным образом каждой точке  $(i, j) \in \Pi$  поставим в соответствие число  $up'(i, j)$ , равное максимальному значению  $j'$ , при котором  $(m, j')$  достижима из  $(i, j)$ , и равное  $(-1)$ , если такого  $j'$  не существует. Очевидно, что если точка  $(m, n + j^*)$  достижима из  $(0, j^*)$ , то  $up(m, n + j^*) \geq j^*$  и  $up'(0, j^*) \geq n + j^*$ . Менее очевидно, однако верно, что если  $up(m, n + j^*) \geq j^*$  и  $up'(0, j^*) \geq n + j^*$ , то  $(m, n + j^*)$  достижима из  $(0, j^*)$ . Поэтому проверка  $\varepsilon$ -сходства циклов сводится к отысканию  $j^*$ , удовлетворяющего неравенства  $up(m, n + j^*) \geq j^*$  и  $up'(0, j^*) \geq n + j^*$ . При известных числах  $up(i, j)$  и  $up'(i, j)$  сложность этого поиска имеет порядок  $n$ . Числа  $up(i, j)$  вычисляются за время, линейно зависящее от  $m \times n$ , с помощью следующего алгоритма.

### Алгоритм 3

- 1) если  $q(0, 0) = 0$ , то  $up(0, 0) = (-1)$ ;  
в противном случае  $up(0, 0) = 0$ ;
- 2) для  $i = 1, 2, \dots, m$ ,  
если  $q(i, 0) = 0$ , то  $up(i, 0) = (-1)$ ;  
в противном случае  $up(i, 0) = up(i-1, 0)$ ;
- 3) для  $j = 1, 2, \dots, 2n$ ,  
если  $q(0, j) = 0$ , то  $up(0, j) = (-1)$ ;  
в противном случае  $up(0, j) = j$ ;
- 4) для  $i = 1, 2, \dots, m$  и  $j = 1, 2, \dots, 2n$ ,  
если  $q(i, j) = 0$ , то  $up(i, j) = (-1)$ ;  
в противном случае  $up(i, j) = \max\{up(i-1, j), up(i, j-1), up(i-1, j-1)\}$ .

□

Аналогично вычисляются и числа  $up'(i, j)$ , таким образом, сложность распознавания  $\varepsilon$ -сходства циклов имеет порядок  $m \times n$ .

Вычисление расстояния между циклами сводится к многократному распознаванию  $\varepsilon$ -сходства, которое выполняется для определенных тестовых значений  $\varepsilon$ . Искомое значение расстояния принадлежит множеству  $\{d(x_i, y_j) \mid i \in I, j \in J\}$ , состоящему не более чем из  $m \times n$  элементов. Это множество следует упорядочить за время порядка  $(m \times n) \log(m \times n)$ , а затем найти искомое расстояние, определяя  $\varepsilon$ -сходство не более чем для  $\log(m \times n)$  тестовых значений. Таким образом, вычисление расстояния между циклами имеет порядок сложности не хуже, чем  $(m \times n) \log(m \times n)$ .

**Распознавание  $\varepsilon$ -сходства ломаных линий.** Исходные данные для распознавания  $\varepsilon$ -сходства ломаных линий  $X$  и  $Y$  представлены множествами  $I = \{0, 1, 2, \dots, m\}$  и  $J = \{0, 1, 2, \dots, n\}$  номеров вершин и их координатами  $(x_i \mid i \in I)$ ,  $(y_j \mid j \in J)$ . Эти данные определяют длины  $U$  и  $V$  ломаных линий, прямоугольник  $\Pi = \{u \mid 0 \leq u \leq U\} \times \{v \mid 0 \leq v \leq V\}$  и его подмножество  $\Pi(\varepsilon) = \{(u, v) \in \Pi \mid d(x(u), y(v)) \leq \varepsilon\}$ . Число  $u$  — горизонтальная координата точки  $(u, v) \in \Pi$ , а число  $v$  — ее вертикальная координата. В соответствии с утверждением 3  $\varepsilon$ -сходство ломаных линий означает, что при этом значении  $\varepsilon$  точка  $(U, V)$  достижима из точки  $(0, 0)$ . Как и при распознавании сходства цепочек (см. алгоритм 1), основная идея распознавания ломаных линий состоит в последовательном наращивании множества точек, достижимых из  $(0, 0)$ . Однако в данном случае  $\Pi$ ,  $\Pi(\varepsilon)$  и области достижимости — это не конечные, а бесконечные множества. Покажем, что и в этом случае распознавание  $\varepsilon$ -сходства сводится к конечным вычислениям.

Представим прямоугольник  $\Pi$  как объединение  $m \times n$  подмножеств  $\Pi(i, j) = \{(u, v) \mid u(x_{i-1}) \leq u \leq u(x_i), v(y_{j-1}) \leq v \leq v(y_j)\}$ ,  $i \in \{1, 2, \dots, m\}$ ,  $j \in \{1, 2, \dots, n\}$ , которые назовем ячейками. В силу выпуклости расстояния

$d: \mathbb{R}^k \times \mathbb{R}^k \rightarrow \mathbb{R}$  множество  $\Pi(\varepsilon) \cap \Pi(i, j)$  выпукло для каждой пары  $(i, j)$ . Пусть  $\gamma$  — монотонная кривая, начинающаяся в  $(0, 0)$ , заканчивающаяся в  $(U, V)$  и полностью лежащая в  $\Pi(\varepsilon)$ . Пусть  $\gamma(i, j) = \gamma \cap \Pi(i, j)$  — участок этой кривой в ячейке  $\Pi(i, j)$ . Определим другую монотонную кривую  $\gamma'$  так, что если  $\gamma(i, j) = \emptyset$ , то  $\gamma'(i, j) = \emptyset$ , иначе  $\gamma'(i, j)$  — это прямолинейный отрезок, концы которого совпадают с концами  $\gamma(i, j)$ . Поскольку  $\gamma(i, j) \subset \Pi(\varepsilon) \cap \Pi(i, j)$ , а множество  $\Pi(\varepsilon) \cap \Pi(i, j)$  — выпукло, то  $\gamma'(i, j) \subset \Pi(\varepsilon) \cap \Pi(i, j)$ . Следовательно,  $\gamma'$  — тоже монотонная кривая, начинающаяся в  $(0, 0)$ , заканчивающаяся в  $(U, V)$  и полностью лежащая в  $\Pi(\varepsilon)$ . Таким образом, поиск подходящей монотонной кривой сводится к поиску конечной последовательности точек, в которых искомая кривая пересекает границы ячеек. Для поиска этой последовательности следует находить не множество  $g$  всех точек, достижимых из  $(0, 0)$ , а только его пересечения с границами ячеек  $\Pi(i, j)$ .

Введем обозначения

$$qhor(i, j) = \{u \mid (u, v(y_j)) \in \Pi(\varepsilon) \cap \Pi(i, j)\}, \quad qver(i, j) = \{v \mid (u(x_i), v) \in \Pi(\varepsilon) \cap \Pi(i, j)\}.$$

Подмножества  $qhor(i, j)$  и  $qver(i, j)$  — это замкнутые интервалы (возможно, пустые), и их можно представить конечной совокупностью данных, объем которой имеет порядок  $m \times n$ . Каждый интервал представляется бинарной меткой, обозначающей, пустой ли он, и двумя его граничными точками, если он не пустой. Сложность вычисления этих данных имеет порядок  $m \times n$ .

Пересечения множества  $g$  точек, достижимых из  $(0, 0)$ , с границами ячеек  $\Pi(i, j)$  тоже будем задавать с помощью интервалов  $ghor(i, j) \subset qhor(i, j)$  и  $gver(i, j) \subset qver(i, j)$ :

$$ghor(i, j) = \{u \mid (u, v(y_j)) \in g \cap \Pi(i, j)\}, \quad gver(i, j) = \{v \mid (u(x_i), v) \in g \cap \Pi(i, j)\}.$$

Их тоже можно представить совокупностью чисел, объем которой имеет порядок  $m \times n$ . Интервалы  $ghor(i, j)$ ,  $gver(i, j)$  строятся на основании интервалов  $qver(i, j)$  и  $qhor(i, j)$  с помощью следующего алгоритма.

#### Алгоритм 4

- 1) если  $d(x_0, y_0) > \varepsilon$ , то  $ghor(1, 0) = gver(0, 1) = \emptyset$ ;  
в противном случае  $ghor(1, 0) = qhor(1, 0)$ ,  $gver(0, 1) = qver(0, 1)$ ;
- 2) для  $i \in \{2, 3, \dots, m\}$ ,  
если  $ghor(i-1, 0) \cap qhor(i, 0) = \emptyset$ , то  $ghor(i, 0) = \emptyset$ ;  
в противном случае  $ghor(i, 0) = qhor(i, 0)$ ;
- 3) для  $i \in \{2, 3, \dots, n\}$ ,  
если  $gver(0, j-1) \cap qver(0, j) = \emptyset$ , то  $gver(0, j) = \emptyset$ ;  
в противном случае  $gver(0, j) = qver(0, j)$ ;
- 4) для  $i \in \{1, 2, \dots, m\}$  и  $j \in \{1, 2, \dots, n\}$ ,  
если  $ghor(i, j-1) \neq \emptyset$ , то  $gver(i, j) = qver(i, j)$ ;  
в противном случае  $gver(i, j) = \{v \in qver(i, j) \mid v \geq \min gver(i-1, j)\}$ ;  
если  $gver(i-1, j) \neq \emptyset$ , то  $ghor(i, j) = qhor(i, j)$ ;  
в противном случае  $ghor(i, j) = \{u \in qhor(i, j) \mid u \geq \min ghor(i, j-1)\}$ .  $\square$

Условия вида  $x \geq \min P$  в п. 4 алгоритма 4 проверяются и для  $P = \emptyset$ . В этом случае предполагается, что неравенство  $x \geq \min P$  ложно для любого  $x$  и, следовательно,  $\{x \mid x \geq \min P\} = \emptyset$ . Результат распознавания  $\varepsilon$ -сходства ломаных линий представлен подмножествами  $ghor(m, n)$  и  $gver(m, n)$ . Точка  $(U, V)$  либо содержится в обоих подмножествах, либо не содержится ни в одном из них. В первом случае  $H(X, Y) \leq \varepsilon$ , и  $H(X, Y) > \varepsilon$  — во втором. Вычислительная сложность алгоритма имеет порядок  $m \times n$ .



В [6] показано, что вычисление расстояния между ломаными линиями можно свести к многократному, но не более чем  $\log(m \times n)$ -кратному распознаванию  $\varepsilon$ -сходства.

**Распознавание  $\varepsilon$ -сходства многоугольников.** Пусть  $X$  и  $Y$  — многоугольники с периметрами  $U$  и  $V$ ,  $I = \{0, 1, \dots, m\}$  и  $J = \{0, 1, \dots, n\}$  — множества номеров их вершин,  $(x_i \in \mathbb{R}^k \mid i \in I)$  и  $(y_j \in \mathbb{R}^k \mid j \in J)$  — координаты этих вершин. Согласно утверждению 4  $\varepsilon$ -сходство этих многоугольников означает существование бимонотонной кривой в прямоугольнике  $\Pi = \{u \mid 0 \leq u \leq U\} \times \{v \mid 0 \leq v \leq V\}$ , для каждой точки  $(u, v)$  которой выполняется неравенство  $d(x(u), y(v)) \leq \varepsilon$ . Как и при распознавании  $\varepsilon$ -сходства циклов, поиск бимонотонной кривой в прямоугольнике  $\Pi$  можно заменить поиском монотонной кривой в прямоугольнике  $\Pi_2 = \{u \mid 0 \leq u \leq U\} \times \{v \mid 0 \leq v \leq 2V\}$ . А именно, два многоугольника  $\varepsilon$ -сходны, если существует такое число  $v^*$ , что точка  $(U, V + v^*)$  достижима из точки  $(0, v^*)$ . Для анализа этого условия сформулируем вспомогательные понятия.

Любой паре  $x \in X$ ,  $y \in Y$  соответствуют две точки в прямоугольнике  $\Pi_2$ :  $(u(x), v(y))$  и  $(u(x), V + v(y))$ , где  $u(x)$  — длина ломаной линии от  $x_0$  до  $x$ , а  $v(y)$  — длина ломаной линии от  $y_0$  до  $y$ . Каждой точке  $(u, v) \in \Pi_2$  соответствует пара  $x(u) \in X$ ,  $y(v) \in Y$  такая, что длина ломаной линии от  $x_0$  до  $x(u)$  равна  $u$ , а длина ломаной линии от  $y_0$  до  $y(v)$  равна  $v$ , если  $v \leq V$ , и равна  $v - V$ , если  $v \geq V$ . Для  $i \in \{1, 2, \dots, m\}$ ,  $j \in \{0, 1, \dots, n\}$  определим подмножества

$$\begin{aligned} \text{Phor}(i, j) &= \{(u, v(y_j)) \mid u(x_{i-1}) \leq u \leq u(x_i)\}, \\ \text{Phor}(i, j+n) &= \{(u, v+V) \mid (u, v) \in \text{Phor}(i, j)\}. \end{aligned}$$

Подобные подмножества определим для  $i \in \{0, 1, \dots, m\}$  и  $j \in \{1, 2, \dots, n\}$  так, что

$$\begin{aligned} \text{Pver}(i, j) &= \{(u(x_i), v) \mid v(y_{j-1}) \leq v \leq v(y_j)\}, \\ \text{Pver}(i, j+n) &= \{(u, v+V) \mid (u, v) \in \text{Pver}(i, j)\}. \end{aligned}$$

Точку  $(u^*, v^*)$  назовем достижимой слева, если существует  $v$  такое, что  $(u^*, v^*)$  достижима из  $(0, v)$ , и достижимой справа, если существует  $v$  такое, что  $(U, v)$  достижима из  $(u^*, v^*)$ . Обозначим  $g$  множество точек, достижимых слева, и  $g'$  — достижимых справа. Для каждой точки  $(u^*, v^*) \in g$  определим число  $up(u^*, v^*)$  — максимальное значение  $v$ , при котором  $(u^*, v^*)$  достижима из  $(0, v)$ . Для каждой точки  $(u^*, v^*) \in g'$  определим число  $up'(u^*, v^*)$  — максимальное значение  $v$ , при котором  $(U, v)$  достижима из  $(u^*, v^*)$ .

Значения  $up(u, v)$  и  $up'(u, v)$  аналогичны числам  $up(i, j)$  и  $up'(i, j)$  при распознавании  $\varepsilon$ -сходства циклов. Очевидно, что если точка  $(U, V + v^*)$  достижима из  $(0, v^*)$ , то  $up(U, V + v^*) \geq v^*$  и  $up'(0, v^*) \geq V + v^*$ . Менее очевидно, однако верно, что если  $up(U, V + v^*) \geq v^*$  и  $up'(0, v^*) \geq V + v^*$ , то  $(U, V + v^*)$  достижима из  $(0, v^*)$ . Поэтому  $\varepsilon$ -сходство многоугольников равнозначно существованию такого числа  $v^*$ , что

$$(0, v^*) \in g', \quad up'(0, v^*) \geq V + v^*, \quad (U, V + v^*) \in g, \quad up(U, V + v^*) \geq v^*. \quad (5)$$

Как и для распознавания  $\varepsilon$ -сходства ломаных линий, для проверки условия (5) не требуется знать полностью множества  $g$  и  $g'$ , а только их подмножества

$$gver(i, j) = g \cap Пver(i, j), \quad ghor(i, j) = g \cap Пhor(i, j), \quad (6)$$

$$gver'(i, j) = g' \cap Пver(i, j), \quad ghor'(i, j) = g' \cap Пhor(i, j). \quad (7)$$

Те подмножества (6), (7), которые не пусты, являются вертикальными или горизонтальными отрезками в прямоугольнике П2. Каждое из подмножеств (6), (7) задается бинарной меткой, обозначающей, является ли оно пустым, и координатами крайних точек. Суммарный объем этих данных имеет порядок  $m \times n$ . Подмножества (6), (7) строятся подобно тому, как строятся подмножества  $gver(i, j)$ ,  $ghor(i, j)$  с помощью алгоритма 4 при распознавании  $\varepsilon$ -сходства ломаных линий. Трудоемкость этих вычислений имеет тот же порядок  $m \times n$ .

Функции  $up$  и  $up'$  также не требуется знать полностью. Для проверки условия (5) достаточно знать сужения  $up$  на подмножества  $gver(i, j)$ ,  $ghor(i, j)$  и сужения  $up'$  на подмножества  $gver'(i, j)$ ,  $ghor'(i, j)$ . Их в свою очередь можно представить конечной совокупностью чисел. Функция  $up'$  на любом подмножестве  $gver'(i, j)$  принимает постоянное значение, которое обозначим  $UPver'(i, j)$ . На каждом множестве  $ghor(i, j)$  функция  $up$  принимает постоянное значение, которое обозначим  $UPhor(i, j)$ . Сужения функции  $up$  на подмножества  $gver(i, j)$  и функции  $up'$  на подмножества  $ghor'(i, j)$  имеют более сложный вид. Покажем, как можно представить функцию  $up$  на подмножествах  $gver(i, j)$ .

Выберем некоторую пару  $(i^*, j^*)$  и зафиксируем ее для дальнейшего рассмотрения. Для любой точки  $(u(x_{i^*}), v) \in gver(i^*, j^*)$  точка  $(0, up(u(x_{i^*}), v))$ , из которой достижима  $(u(x_{i^*}), v)$ , принадлежит либо подмножеству  $Пver(0, j^*)$ , либо подмножеству  $Пver(0, j')$ ,  $j' < j^*$ . Рассмотрим эти ситуации.

Пусть  $(0, up(u(x_{i^*}), v)) \in Пver(0, j^*)$ . Множество значений  $v$ , удовлетворяющих этому условию, образует интервал, границы которого обозначим  $begin$  и  $end$ . Множество значений функции  $up$  на этом интервале — это тоже интервал, верхнюю границу которого обозначим  $value$ . Величина  $up(u(x_{i^*}), v)$  равна  $value$  на подмножестве  $\{v \mid value \leq v \leq end\}$  и равна  $v$  на подмножестве  $\{v \mid begin \leq v \leq value\}$ . Таким образом, на интервале  $\{v \mid begin \leq v \leq end\}$  величина  $up(u(x_{i^*}), v)$  полностью определяется значением  $value$  так, что  $up(u(x_{i^*}), v) = \min\{v, value\}$ .

Пусть  $(0, up(u(x_{i^*}), v)) \in Пver(0, j')$ ,  $j' < j^*$ . На множестве значений  $v$ , удовлетворяющих этому условию, функция  $up$  является кусочно-постоянной убывающей функцией от  $v$ , которая принимает не более, чем  $i^*$  значений. Действительно, монотонная кривая, соединяющая точки  $(u(x_{i^*}), v)$  и  $(0, up(u(x_{i^*}), v)) \in Пver(0, j')$ , пересекает одно из подмножеств  $ghor(i, j^* - 1)$ ,  $i = 1, 2, \dots, i^*$ . На каждом из них функция  $up$  принимает постоянное значение  $UPhor(i, j^* - 1)$ . Если монотонная кривая, соединяющая точки  $(u(x_{i^*}), v)$  и  $(0, up(u(x_{i^*}), v))$ , пересекает  $ghor(i, j^* - 1)$ , то  $up(u(x_{i^*}), v) = UPhor(i, j^* - 1)$ .

Таким образом, сужение функции  $up$  на подмножество  $gver(i, j)$  задается множеством троек вида  $(begin, end, value)$ , которое обозначим  $Intver(i, j)$ . Множество  $Intver(i, j)$  троек определяет разбиение вертикального отрезка  $gver(i, j)$  на непересекающиеся интервалы, количество которых не превышает  $i + 1$ . Множество интервалов упорядочено так, что один из двух различных интервалов выше,

а другой ниже, в непустом множестве обязательно имеется самый высокий и самый низкий интервал и т.п. Множество  $Intver(i, j)$  определяет величину  $up(u, v)$  для любой точки  $(u(x_i), v) \in gver(i, j)$ . Для этой точки следует найти тройку  $(begin, end, value) \in Intver(i, j)$  такую, что либо  $begin \leq v \leq end$ ,  $value \geq v(y_{j-1})$ , либо  $begin \leq v < end$ ,  $value < v(y_{j-1})$ . В первом случае величина  $(up(u(x_i), v))$  равна  $\min\{value, v\}$ , а во втором — равна  $value$ .

Если для каждого  $j \in \{1, 2, \dots, n\}$  известно число  $UPver'(0, j)$  и множество  $Intver(m, j+n)$ , то проверку условия (5) выполняет следующий алгоритм.

#### Алгоритм 5

- 1) найти  $j \in \{1, 2, \dots, n\}$  такое, что  $UPver'(0, j) \geq \max\{v \mid (U, v) \in gver(m, j+n)\}$ ; если такого  $j$  не существует, то представленные многоугольники не являются  $\varepsilon$ -сходными;
- 2) для всех  $j$ , которые удовлетворяют условию п.1, и всех троек  $(begin, end, value) \in Intver(m, j+n)$  проверить условия
  - 2.1)  $(0, value) \in Pver(0, j+n)$ ;
  - 2.2) существует  $v$  такое, что  $begin \leq v < end$  и  $value \geq v - V$ ;
- 3) если найдено  $j$ , для которого выполнилось условие п. 2.1 или п. 2.2, то условие (5) выполнено и предъявленные многоугольники  $\varepsilon$ -сходны; если такое  $j$  не найдено, предъявленные многоугольники не являются  $\varepsilon$ -сходными.  $\square$

Количество значений  $j \in \{1, 2, \dots, n\}$ , для которых проверяются условия п.2.1 и п. 2.2, не превышает  $n$ . Количество троек  $(begin, end, value) \in Intver(m, j+n)$ , проверяемых для каждого из этих значений  $j$ , не превосходит  $m$ . Время проверки условий п. 2.1 и п. 2.2 для каждого  $j$  и каждой тройки  $(begin, end, value)$  не зависит от  $m$  и  $n$ . Таким образом, при известных числах  $UPver'(0, j)$  и множествах  $Intver(m, j+n)$ ,  $j \in \{1, 2, \dots, n\}$ , сложность алгоритма 5 имеет порядок  $m \times n$ .

Покажем, как следует строить множества  $Intver(i, j)$ ,  $i \in \{0, 1, 2, \dots, m\}$ ,  $j \in \{1, 2, \dots, 2n\}$ , часть которых, а именно множества  $Intver(m, j)$ ,  $j \in \{n+1, n+2, \dots, 2n\}$ , необходима для выполнения алгоритма 5. Для построения этих множеств нужны сведения о множествах  $gver(i, j)$  и значениях  $UPhor(i, j)$ . Множества  $gver(i, j)$  строятся с помощью алгоритма, аналогичного алгоритму 4 для распознавания  $\varepsilon$ -сходства ломаных линий. Алгоритмы вычисления значений  $UPhor(i, j)$  и построения множеств  $Intver(i, j)$  описаны далее.

Ключевая идея этих алгоритмов состоит в том, что в них не предусмотрена индивидуальная память для каждого множества  $Intver(i, j)$ ,  $i \in \{0, 1, 2, \dots, m\}$ ,  $j \in \{1, 2, \dots, 2n\}$ . Для каждого  $j^* \in \{1, 2, \dots, 2n\}$  предусмотрена память  $Intver^*(j^*)$ , общая для всех множеств  $Intver(i, j^*)$ ,  $i \in \{0, 1, 2, \dots, m\}$ . На каком-то, скажем,  $i$ -м шаге работы алгоритма память  $Intver^*(j^*)$  представляет множество  $Intver(i, j^*)$  для этого  $i$ , а на другом шаге — для другого. Именно такая организация памяти позволяет построить множества  $Intver(m, j)$ ,  $j \in \{n+1, n+2, \dots, 2n\}$ , за время, линейно зависящее от  $m \times n$ , и в конечном итоге распознать  $\varepsilon$ -сходство за время того же порядка. Память  $Intver^*(j)$  является очередью магазинного типа, в которой записано множество троек вида  $(begin, end, value)$ . Очередь допускает выполнение следующих операций:

- проверка, является ли очередь пустой;
- очистка очереди, в результате чего она становится пустой;
- чтение самой верхней или самой нижней тройки из очереди;
- исключение из очереди самой верхней или самой нижней тройки;
- запись тройки вида  $(begin, end, value)$  в самый верх или самый низ очереди.

В силу упорядоченности множества троек, находящихся в очереди, каждая операция выполняется за постоянное время, не зависящее от содержимого очереди. Инициализация алгоритма состоит в определении значений  $UPhor(i, 0)$ ,  $i \in \{1, 2, \dots, m\}$ , и начального состояния очередей  $Intver^*(j)$ ,  $j \in \{1, 2, \dots, 2n\}$ . Значение  $UPhor(i, 0)$  равно 0, если  $ghor(i, 0) \neq \emptyset$ , и не определено в противном случае. Очередь  $Intver^*(j)$  в своем начальном состоянии пуста, если  $gver(0, j) = \emptyset$ , и содержит единственную тройку ( $begin = bottom(0, j)$ ,  $end = top(0, j)$ ,  $value = top(0, j)$ ), если  $gver(0, j) \neq \emptyset$ . Здесь и далее приняты обозначения

$$top(i, j) = \max\{v \mid (u, v) \in gver(i, j)\}, \quad bottom(i, j) = \min\{v \mid (u, v) \in gver(i, j)\}.$$

Алгоритм выполняет работу по шагам. Каждый шаг соответствует определенной паре  $(i, j)$ ,  $i \in \{1, 2, \dots, m\}$ ,  $j \in \{1, 2, \dots, 2n\}$ . Шаг с номером  $(i, j)$  выполняется после того, как вычислено значение  $UPhor(i, j-1)$  и построено множество  $Intver(i-1, j)$ , представленное очередью  $Intver^*(j)$ . На основании этих данных значение  $UPhor(i, j)$  определяется по следующему правилу.

**Алгоритм 6**

Если  $ghor(i, j) = \emptyset$ , то  $UPhor(i, j)$  не определено;

в противном случае

{ если  $gver(i-1, j) \neq \emptyset$ ,  
то { прочитать самую верхнюю тройку ( $begin, end, value$ )  
из очереди  $Intver^*(j)$ ;

$UPhor(i, j) = value$ ;

}

в противном случае  $UPhor(i, j) = UPhor(i, j-1)$ .

}

□

Суммарная по всем  $(i, j)$  сложность этих операций имеет порядок  $m \times n$ .

Пусть непосредственно перед выполнением  $(i, j)$ -го шага получено значение  $UPhor(i, j-1)$ , а очередь  $Intver^*(j)$  представляет множество  $Intver(i-1, j)$ . В результате  $(i, j)$ -го шага очередь  $Intver^*(j)$  должна модифицироваться так, чтобы представлять множество  $Intver(i, j)$ . Очевидно, что если  $gver(i, j) = \emptyset$ , то в результате  $(i, j)$ -го шага очередь  $Intver^*(j)$  должна стать пустой. Если  $gver(i, j) \neq \emptyset$ , а  $gver(i-1, j) = \emptyset$ , то в результате  $(i, j)$ -го шага очередь  $Intver^*(j)$  должна состоять из единственной тройки ( $begin = bottom(i, j)$ ,  $end = top(i, j)$ ,  $value = UPhor(i, j-1)$ ), которая становится одновременно и самой верхней, и самой нижней в очереди. В остальных случаях, когда  $gver(i, j) \neq \emptyset$  и  $gver(i-1, j) \neq \emptyset$ , выполняется преобразование очереди  $Intver^*(j)$  с помощью следующего алгоритма.

**Алгоритм 7**

- 1) если очередь  $Intver^*(j)$  непустая,
- то { прочитать из  $Intver^*(j)$  самую верхнюю тройку ( $begin, end, value$ );
- исключить из  $Intver^*(j)$  самую верхнюю тройку;
- если  $begin \leq top(i, j)$ ,  
то { записать ( $begin, top(i, j), value$ ) в самый верх очереди;  
перейти к команде 2; }
- перейти к команде 1;
- }
- 2) если очередь  $Intver^*(j)$  непустая,

- то { прочитать из  $Intver^*(j)$  самую нижнюю тройку  $(begin, end, value)$ ;
  - исключить из  $Intver^*(j)$  самую нижнюю тройку;
  - если  $end \geq bottom(i, j)$ ,  
то { записать  $(\max\{begin, bottom(i, j)\}, end, value)$  в самый низ очереди;  
перейти к команде 3; }
  - перейти к команде 2;
- }  
 3) если  $ghor(i, j-1) \neq \emptyset$ ,  
 то { если  $Intver^*(j) = \emptyset$ ,  
 то записать тройку  $(bottom(i, j), top(i, j), UPhor(i, j-1))$  в очередь;  
 в противном случае  
 { прочитать самую нижнюю тройку  $(begin, end, value)$  из очереди;  
 если  $begin > bottom(i, j)$ ,  
 то записать тройку  $(bottom(i, j), begin, UPhor(i, j-1))$  в самый низ очереди.  
 }  
 }  
 }

□

В приведенном алгоритме некоторые команды отмечены меткой •. Каждая неотмеченная команда выполняется не более одного раза на каждом  $(i, j)$ -м шаге. Поэтому общее время выполнения всех  $m \times n$  шагов состоит из времени порядка  $m \times n$  и общего времени выполнения отмеченных команд. Тройки записываются в очередь только неотмеченными командами, поэтому общее количество записей имеет порядок  $m \times n$ . Каждая отмеченная команда сопровождается исключением некоторой тройки из очереди, поэтому суммарное время работы всех отмеченных команд имеет порядок, не превышающий  $m \times n$ , так как количество исключений троек из очереди не превышает количества записей. Таким образом, суммарное время преобразования очередей имеет порядок  $m \times n$ .

На каждом  $(i, j)$ -м шаге совместной работы алгоритмов 6 и 7 вычисляется число  $UPhor(i, j)$  и строится множество  $Intver(i, j)$ . Результатом  $m \times n$  шагов этой совместной работы являются множества  $Intver(m, j+n)$ ,  $j \in \{1, 2, \dots, n\}$ , образующие часть исходных данных для алгоритма 5. Остальные исходные для алгоритма 5 данные — это значения  $UPver'(0, j)$ ,  $j \in \{1, 2, \dots, n\}$ , которые формируются в процессе совместной работы двух других алгоритмов. Первый из них вычисляет значение  $UPver'(i, j)$  на основании значения  $UPver'(i+1, j)$  и множества  $Inthor'(i, j+1)$ . Второй алгоритм формирует множество  $Inthor'(i, j)$  на основании значения  $UPver'(i+1, j)$  и множества  $Inthor'(i, j+1)$ . Эти два алгоритма построены по тем же принципам, что и алгоритмы 6 и 7, и здесь не приводятся.

В статье [6] показано, каким образом вычисление расстояния между многоугольниками сводится к многократному, но не более чем  $\log(m \times n)$ -кратному распознаванию  $\varepsilon$ -сходства.

#### ФОРМУЛИРОВКА РЕЗУЛЬТАТА

1. Рассмотрены геометрические объекты различной сложности: цепочки, циклы, ломаные линии и многоугольники. Цепочки и циклы — это конечные множества, а ломаные линии и многоугольники — бесконечные. Для цепочек и ломаных линий начало обхода указано, а для циклов и цепочек — не указано.

2. Несмотря на различную сложность рассмотренных объектов, распознавание их  $\varepsilon$ -сходства имеет один и тот же порядок сложности  $m \times n$ , где  $m$  и  $n$  — количества точек в цепочках и циклах или количества вершин в ломаных линиях и многоугольниках.

3. Различие указанных четырех типов объектов состоит в разной сложности перехода от распознавания  $\varepsilon$ -сходства объектов к вычислению расстояния между ними. Так, вычисление расстояния между цепочками и распознавание их  $\varepsilon$ -сходства не только имеют одну и ту же сложность порядка  $m \times n$ , но выполняются сходными алгоритмами 1 и 2. Вычисление расстояния между циклами сложнее. Оно сводится к  $\log(m \times n)$ -кратному распознаванию их  $\varepsilon$ -сходства, и это почти очевидно. Вычисление расстояния между многоугольниками еще сложнее. В работе [6] показано, что хотя вычисление расстояния сводится к  $\log(m \times n)$ -кратному распознаванию их  $\varepsilon$ -сходства, но это не приводит к прагматически хорошему и легко программируемому алгоритму вычисления этого расстояния.

Описанные в статье алгоритмы распознавания сходства циклов и многоугольников имеют сложность порядка  $m \times n$  в отличие от известных алгоритмов, имеющих сложность порядка  $(m \times n) \log(m \times n)$ . Они пригодны для обработки изображений наряду с другими известными средствами общего назначения. Область применения алгоритмов не ограничена обработкой изображений и включает в себя все те ситуации, когда требуется определить возможность синхронного движения двух объектов по заданным циклическим траекториям в фазовых пространствах этих объектов. Программная реализация алгоритма доступна по адресу <http://www.irtc.org.ua/image/pages/research/FreDist>.

Работа выполнена по заданию Бюро отделения информатики НАН Украины (госрегистрация № 0111U002091).

#### СПИСОК ЛИТЕРАТУРЫ

1. Rockafellar R.T., Wets R.J.B., Wets M. Variational analysis // Grundlehren der mathematischen Wissenschaften. — Berlin; Heidelberg: Springer, 2011. — 750 p.
2. Boxer L. On Hausdorff-like metrics for fuzzy sets // Pattern Recognition Letters. — 1997. — **18**, N 2. — P. 115–118.
3. Chen J., Leung M.K.H., Gao Y. Noisy log o recognition using line segment Hausdorff distance // Pattern Recognition. — 2003. — **36**, N 4. — P. 943–955.
4. Rucklidge W. Efficient visual recognition using the Hausdorff distance. — New York; Secaucus (NJ): Springer-Verlag USA, 1996. — 178 p.
5. Файнзильберг Л. С. Восстановление эталона циклических сигналов на основе использования хаусдорфовой метрики в фазовом пространстве // Кибернетика и системный анализ. — 2003. — № 3. — С. 20–28.
6. Alt H., Godau M. Computing the Frechet distance between two polygonal curves // Int. J. Comput. Geometry Appl. — 1995. — **5**, N 1, 2. — P. 75–91.
7. Heijmans H.J.A.M., Roerdink J.B.T.M. Mathematical morphology and its applications to image and signal processing // Comput. Imag. and Vision. — Amsterdam: Kluwer Academic; Springer, 1998. — 442 p.
8. Soille P., Pesaresi M., Ouzounis G.K. Mathematical morphology and its applications to image and signal processing: Proc. 10th Intern. Sympos., ISMM 2011, Verbania-Intra (Italy) July 6–8, 2011; Lect. Notes Comput. Sci. — 2011. — **6671**. — 484 p.

*Поступила 17.06.2013*



**Keywords:** computational geometry, Frechet distance, strengthened Hausdorff metric, computational complexity, polygons.